

RELAZIONE DI ELETTRONICA

Amplificatori Operazionali

FRANCESCO FORCHER

Università di Padova, Facoltà di Fisica

francesco.forcher@studenti.unipd.it

Matricola: 1073458

ENRICO LUSIANI

Università di Padova, Facoltà di Fisica

enrico.lusiani@studenti.unipd.it

Matricola: 1073300

LAURA BUONINCONTRI

Università di Padova, Facoltà di Fisica

laura.buonincontri@studenti.unipd.it

Matricola: 1073131

8 maggio 2016

Sommario

L'obiettivo dell'esperienza è la misura della curva di trasferimento di un amplificatore (in configurazione invertente e non invertente) e lo studio della sua risposta in frequenza (in configurazione non invertente).

INDICE

I Schema Circuiti	2
II Parte I	2
I Amplificatore invertente	2
I.1 Calcolo amplificazione	3
I.2 Analisi	3
II Amplificatore non invertente	4
II.1 Calcolo amplificazione	4
II.2 Analisi	5
III Parte II	7
I Amplificatore con $A=10$	7
II Amplificatore con $A=5$	8
III Amplificatore con $A=1$	9
IV Discussione dei punti precedenti	9
IV Analisi dei dati	16
V Appendice: calcolo degli errori	16
VI Conclusioni	16
VII Codice	17

I. SCHEMA CIRCUITI

Circuito di alimentazione:

II. PARTE I

II.I Amplificatore invertente

Schema amplificatore invertente: Le resistenze sono state scelte in modo da avere guadagno $A = -10 \frac{V}{V}$

$$R_1 = 9.85 \pm 0.05 \text{ k}\Omega$$

$$R_2 = 101.3 \pm 0.6 \text{ k}\Omega$$

$$R_3 = 56.0 \pm 0.3 \Omega$$

Per il calcolo degli errori sul valore delle resistenze, lette sull'Agilent U1232A, è stata utilizzata la seguente formula:

$$\sigma_{\text{tot}} = \sqrt{\sigma_{\%}^2 + \sigma_{\text{dgt}}^2}$$

Per il calcolo delle σ_{tot} è stato cercato del datasheet dello strumento, l'errore percentuale e di digit corrispondente al fondo scala utilizzato.

I.1 Calcolo amplificazione

La relazione tra le resistenze, affinché soddisfino la richiesta $A=10$ è la seguente:

$$\begin{aligned}\frac{V_1 - V_n}{R_1} &= \frac{V_n - V_0}{R_2} \\ V_n &= 0 \\ \frac{V_1}{R_1} &= \frac{-V_0}{R_2} \\ V_0 &= -\frac{R_2}{R_1} \cdot V_1\end{aligned}$$

Da cui si ricava la relazione per il calcolo di A .

I.2 Analisi

La stima di A teorica, a partire dalle resistenze misurate è:

$$A_{\text{teorica}} = 10.28 \pm 0.08$$

Le misure sono state fatte applicando una tensione sinusoidale di frequenza $f = 1 \text{ kHz}$, variando l'ampiezza tra $0.2V_{\text{pp}}$ e $4V_{\text{pp}}$.

In seguito è stato fatto il grafico della curva di trasferimento di un amplificatore invertente.

In seguito sono presentati i dati del **Grafico 1** acquisiti in laboratorio, con i rispettivi errori:

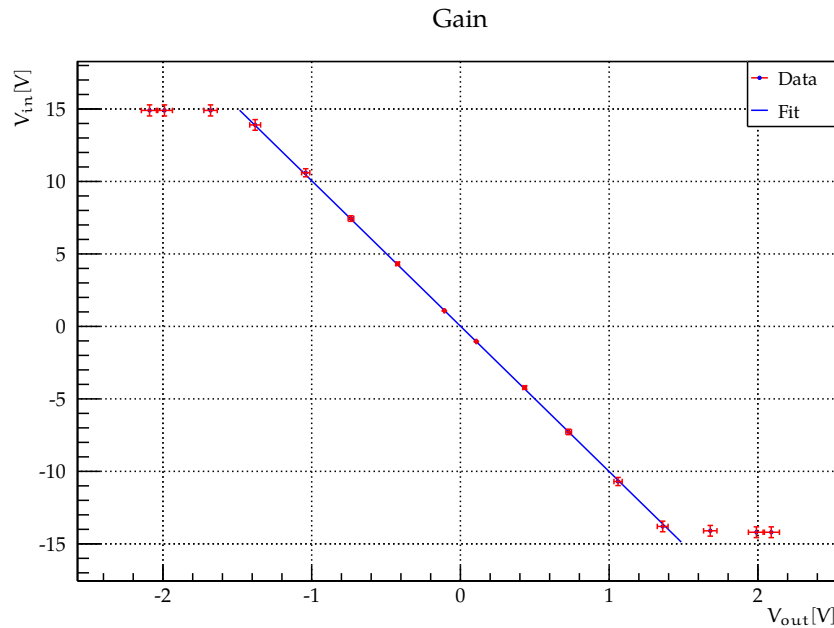
Per il calcolo degli errori sui valori di V_{in} e V_{out} letti sull'oscilloscopio, è stata utilizzata la seguente formula:

$$\sigma_{\text{tot}} = \sqrt{(0.02 \cdot V_{\text{letto}})^2 + (0.06 \cdot V_{\text{div}})^2}$$

E' stata fatta l'interpolazione lineare dei punti nel **Grafico 1** pesata dei punti compresi tra 0 e 1.5 V.

$$q = 0.02 \pm 0.03 \text{ V}$$

$$m = -10.0 \pm 0.1 \frac{\text{V}}{\text{V}}$$

Grafico 1 Curva di trasferimento di un amplificatore invertente

II.II Amplificatore non invertente

Schema amplificatore non invertente: Le resistenze sono state scelte in modo da avere guadagno $A = 10 \frac{V}{V}$

$$R_{1,up} = 9.91 \pm 0.05 \text{ k}\Omega$$

$$R_{1,down} = 9.85 \pm 0.05 \text{ k}\Omega$$

$$R_{2,up} = 99.7 \pm 0.6 \text{ k}\Omega$$

$$R_{2,down} = 101.3 \pm 0.6 \text{ k}\Omega$$

$$R_4 = 56.0 \pm 0.3 \Omega$$

II.1 Calcolo amplificazione

La relazione tra le resistenze, affinché soddisfino la richiesta $A=10$ è la seguente:
 Nell'ingresso non invertente:

$$\frac{V_1 - V_p}{R_{1down}} = \frac{V_p}{R_{2down}}$$

$$\frac{V_1}{R_{1down}} = \frac{V_p}{R_{1down}} + \frac{V_p}{R_{2down}} = V_p \left(\frac{1}{R_{1down}} + \frac{1}{R_{2down}} \right)$$

Nell'ingresso invertente:

$$\frac{V_0 - V_n}{R_{2up}} = \frac{V_n}{R_{1up}}$$

Tabella 1: Dati curva di trasferimento

$V_{in+} \pm \sigma_{V_{in+}} (V)$	$V_{in-} \pm \sigma_{V_{in-}} (V)$	FS (V)	$V_{out+} \pm \sigma_{V_{out+}} (V)$	$V_{out-} \pm \sigma_{V_{out-}} (V)$	FS (V)
1.06 ± 0.03	-1.04 ± 0.03	0.3	-10.7 ± 0.3	10.6 ± 0.3	3
0.107 ± 0.003	-0.108 ± 0.003	0.03	-1.04 ± 0.03	1.08 ± 0.03	0.3
0.43 ± 0.01	-0.422 ± 0.01	0.12	-4.2 ± 0.1	4.32 ± 0.1	1.2
0.73 ± 0.02	-0.74 ± 0.02	0.2	-7.3 ± 0.2	7.4 ± 0.2	2
1.36 ± 0.04	-1.38 ± 0.04	0.4	-13.8 ± 0.4	13.9 ± 0.4	4
1.68 ± 0.05	-1.68 ± 0.05	0.5	-14.1 ± 0.4	14.9 ± 0.4	4
1.99 ± 0.05	-1.99 ± 0.05	0.6	-14.2 ± 0.4	14.9 ± 0.4	4
2.09 ± 0.06	-2.09 ± 0.06	0.6	-14.2 ± 0.4	14.9 ± 0.4	4

$$\frac{V_0}{R_{2up}} = \frac{V_n}{R_{1up}} + \frac{V_n}{R_{2up}} = V_n \left(\frac{1}{R_{1up}} + \frac{1}{R_{2up}} \right)$$

Poichè

$$V_p = V_n$$

$$\frac{V_1}{R_{1down}} \frac{1}{\left(\frac{1}{R_{1down}} + \frac{1}{R_{2down}} \right)} = \frac{V_0}{R_{2up}} \frac{1}{\left(\frac{1}{R_{1up}} + \frac{1}{R_{2up}} \right)}$$

$$V_0 = \frac{R_{2up}}{R_{1down}} \cdot V_1 \frac{\left(\frac{1}{R_{1up}} + \frac{1}{R_{2up}} \right)}{\left(\frac{1}{R_{1down}} + \frac{1}{R_{2down}} \right)}$$

Da cui si ricava la relazione per il calcolo di A. Se poi si assume che $R_{1down} = R_{1up}$ e $R_{2down} = R_{2up}$, la relazione si semplifica a

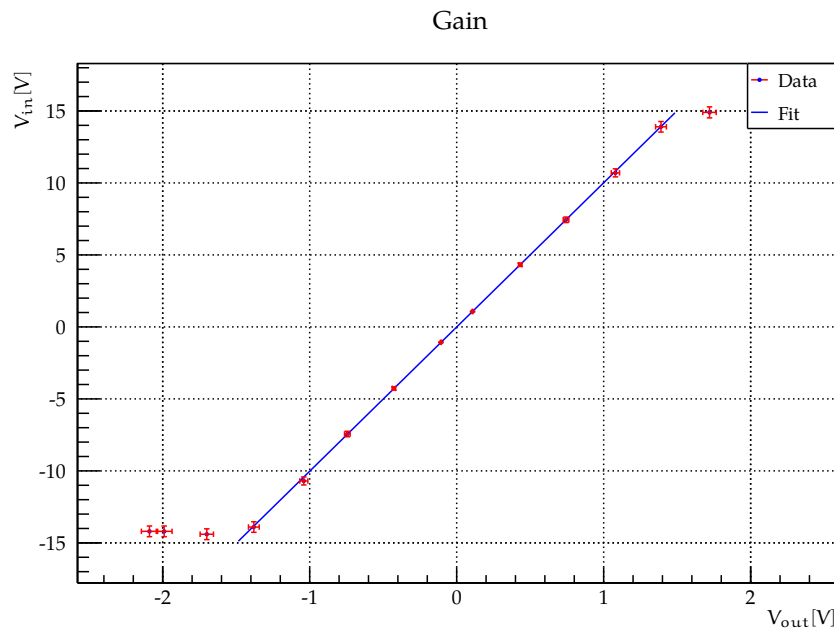
$$V_0 = \frac{R_{2up}}{R_{1down}} \cdot V_1$$

II.2 Analisi

La stima di A teorica, a partire dalle resistenze misurate è:

$$A_{teorica} = 10.08 \pm 0.07$$

Le misure sono state fatte applicando una tensione sinusoidale di frequenza $f = 1 \text{ kHz}$, variando l'ampiezza tra $0.2V_{pp}$ e $4V_{pp}$.

Grafico 2 Curva di trasferimento di un amplificatore invertente

In seguito è stato fatto il grafico della curva di trasferimento di un amplificatore non invertente.

In seguito sono presentati i dati del **Grafico 2** acquisiti in laboratorio, con i rispettivi errori:

E' stata fatta l'interpolazione lineare pesata dei punti nel **Grafico 2** compresi tra 0 e 1.5 V.

$$q = -0.007 \pm 0.03 \text{ V}$$

$$m = 10.0 \pm 0.1 \frac{\text{V}}{\text{V}}$$

Tabella 2: Dati curva di trasferimento

$V_{in+} \pm \sigma_{V_{in+}} (V)$	$V_{in-} \pm \sigma_{V_{in-}} (V)$	FS (V)	$V_{out+} \pm \sigma_{V_{out+}} (V)$	$V_{out-} \pm \sigma_{V_{out-}} (V)$	FS (V)
1.08 ± 0.03	-1.04 ± 0.03	0.3	10.7 ± 0.3	-10.7 ± 0.3	3
0.108 ± 0.003	-0.107 ± 0.003	0.03	1.07 ± 0.003	-1.07 ± 0.003	0.3
0.43 ± 0.01	-0.43 ± 0.01	0.120	4.3 ± 0.1	-4.3 ± 0.1	1.2
0.74 ± 0.02	-0.74 ± 0.02	0.2	7.4 ± 0.2	-7.4 ± 0.2	2
1.39 ± 0.04	-1.38 ± 0.04	0.4	13.9 ± 0.4	-13.9 ± 0.4	4
1.72 ± 0.05	-1.70 ± 0.05	0.5	14.9 ± 0.4	-14.4 ± 0.4	4
2.04 ± 0.05	-1.99 ± 0.05	0.6	14.7 ± 0.4	-14.2 ± 0.4	4
2.14 ± 0.06	-2.09 ± 0.06	0.6	14.9 ± 0.4	-14.2 ± 0.4	4

III. PARTE II

Le misure sono state effettuate sull'amplificatore non invertente utilizzato al punto precedente e applicando una tensione sinusoidale di frequenza variabile mantenendo l'ampiezza $V_s = 2V_{pp}$.

III.1 Amplificatore con $A=10$

Le resistenze inserite sono le stesse dello schema precedente, e quindi anche l'amplificazione teorica. In seguito è presentato il grafico della risposta in frequenza di un amplificatore invertente con $A=10$. In seguito sono presentati i dati del **Grafico 3** acquisiti in laboratorio.

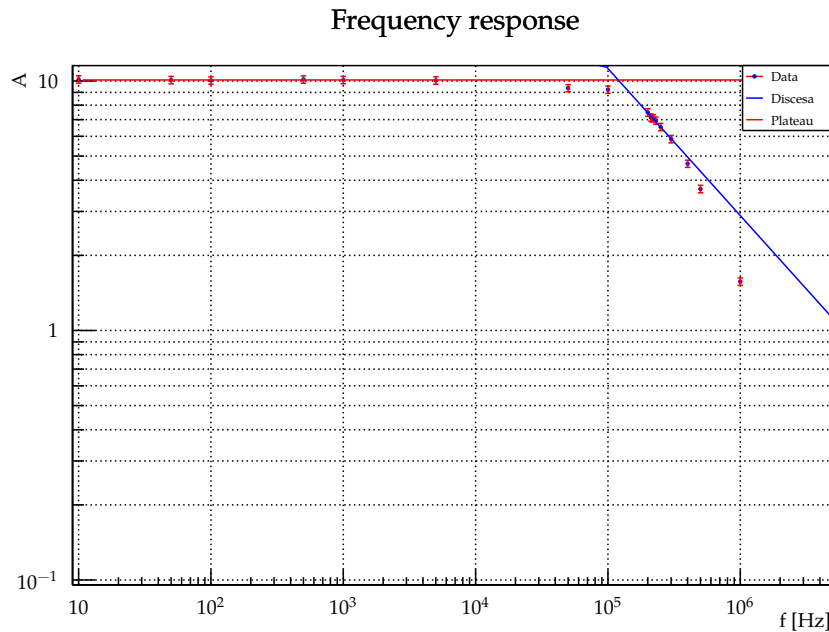
Sono state interpolate separatamente la zona di plateau e di discesa del **Grafico 3**, ottenendo come risultati:

$$A_{\text{plateau}} = 10.1 \pm 0.1$$

$$q = 4.0 \pm 0.6$$

$$m = -0.6 \pm 0.1$$

La closed-loop bandwidth, f_b , del circuito, è stata ricavata trasformando il grafico come $y' = \log_{10}(y)$, interpolando la parte costante, traslandola di 3dB ($\log_{10}(\sqrt{2})$) verso il basso e intersecandola con la retta ottenuta interpolando la parte di discesa. La f_b era poi l'esponentiale in base 10 dell'intersezione. L'errore è stato poi calcolato effettuando una propagazione degli errori sulla f_b , tenendo conto anche dell'alta correlazione tra i coefficienti della retta

Grafico 3 Risposta in frequenza di un amplificatore non invertente con $A=10$ 

(-0.9995) .

$f_b = 215 \pm 7 \text{ kHz}$

Il GBP è

$\text{GBP} = A_{CL} \cdot f_b = 2.17 \pm 0.08 \text{ MHz}$

III.II Amplificatore con $A=5$

Le resistenze inserite sono state sostituite con:

$R_{1,\text{up}} = 5.54 \pm 0.03 \text{ k}\Omega$

$R_{1,\text{down}} = 5.54 \pm 0.03 \text{ k}\Omega$

$R_{2,\text{up}} = 26.9 \pm 0.1 \text{ k}\Omega$

$R_{2,\text{down}} = 26.9 \pm 0.2 \text{ k}\Omega$

$R_4 = 56.0 \pm 0.3 \Omega$

L'amplificazione teorica è perciò

$A_{\text{teorica}} = 4.86 \pm 0.03$ In seguito è presentato il grafico della risposta in frequenza di un amplificatore non invertente con $A=5$. In seguito sono presentati i dati del **Grafico 4** acquisiti in laboratorio.

Sono state interpolate separatamente la zona di plateau e di discesa del **Grafico 4**, ottenendo come risultati:

$A_{\text{plateau}} = 4.88 \pm 0.06$

$q = 3.7 \pm 0.7$

$m = -0.5 \pm 0.1$

Dall'interpolazione si è poi ricavato $f_b = 520 \pm 20 \text{ kHz}$
Il GBP è
 $\text{GBP} = A_{\text{CL}} \cdot f_b = 2.5 \pm 0.1 \text{ MHz}$

III.III Amplificatore con A=1

Le resistenze inserite sono state sostituite con:

$$R_{1,\text{up}} = 32.6 \pm 0.2 \text{ k}\Omega$$

$$R_{1,\text{down}} = 32.6 \pm 0.2 \text{ k}\Omega$$

$$R_{2,\text{up}} = 32.7 \pm 0.2 \text{ k}\Omega$$

$$R_{2,\text{down}} = 32.5 \pm 0.2 \text{ k}\Omega$$

$$R_4 = 56.0 \pm 0.3 \Omega$$

L'amplificazione teorica è perciò

$A_{\text{teorica}} = 1.000 \pm 0.005$ In seguito è presentato il grafico della risposta in frequenza dell'amplificatore non invertente con $A=1$.

In seguito sono presentati i dati del **Grafico 5** acquisiti in laboratorio: Sono state interpolate separatamente la zona di plateau e di discesa del **Grafico 5**, ottenendo come risultati:

$$A_{\text{plateau}} = 1.01 \pm 0.01$$

$$q = 12.6 \pm 0.4$$

$$m = -2.11 \pm 0.06$$

Dall'interpolazione si è poi ricavato $f_b = 1.12 \pm 0.01 \text{ MHz}$
Il GBP è
 $\text{GBP} = A_{\text{CL}} \cdot f_b = 1.13 \pm 0.02 \text{ MHz}$

III.IV Discussione dei punti precedenti

Tabella 3: *Dati risposta in frequenza*

f(Hz)	A
10	10.14
50	10.09
100	10.05
500	10.14
1000	10.09
5000	10.05
50000	9.36
100000	9.23
200000	7.48
211000	7.14
215000	7.09
220000	7.09
230000	6.94
250000	6.54
300000	5.85
400000	4.66
500000	3.69
1000000	1.57
5000000	0.11

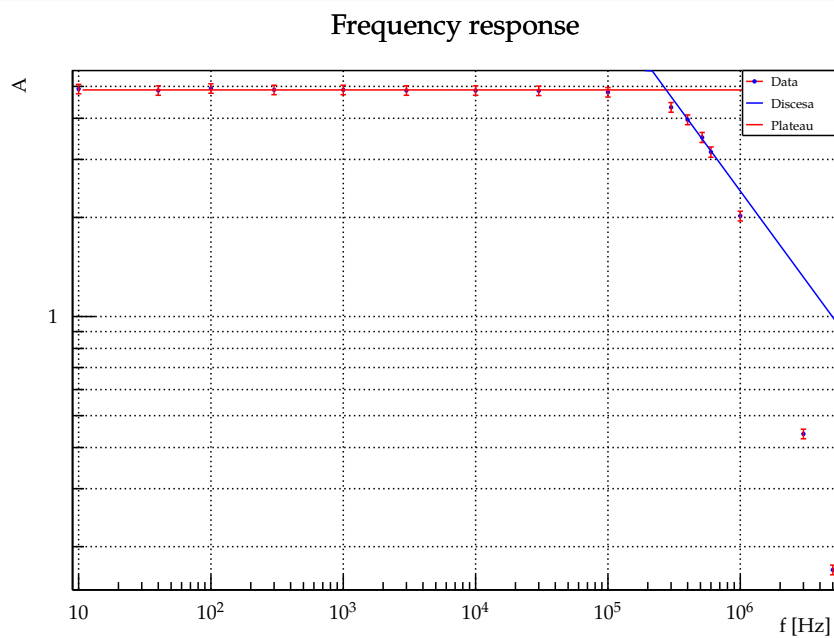
Grafico 4 Risposta in frequenza di un amplificatore non invertente con $A=5$ 

Tabella 4: *Dati risposta in frequenza*

f(Hz)	A
10	4.91
40	4.86
100	4.93
300	4.88
1000	4.88
3000	4.86
10000	4.86
30000	4.85
100000	4.8
300000	4.32
400000	3.96
515000	3.50
600000	3.16
1000000	2.02
3000000	0.44
5000000	0.17

Grafico 5 Risposta in frequenza di un amplificatore non invertente con $A=1$

Frequency response

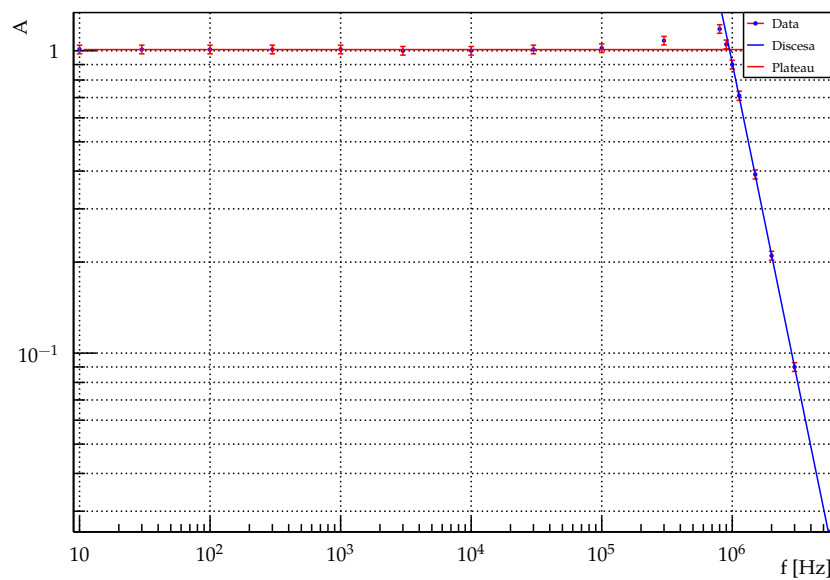
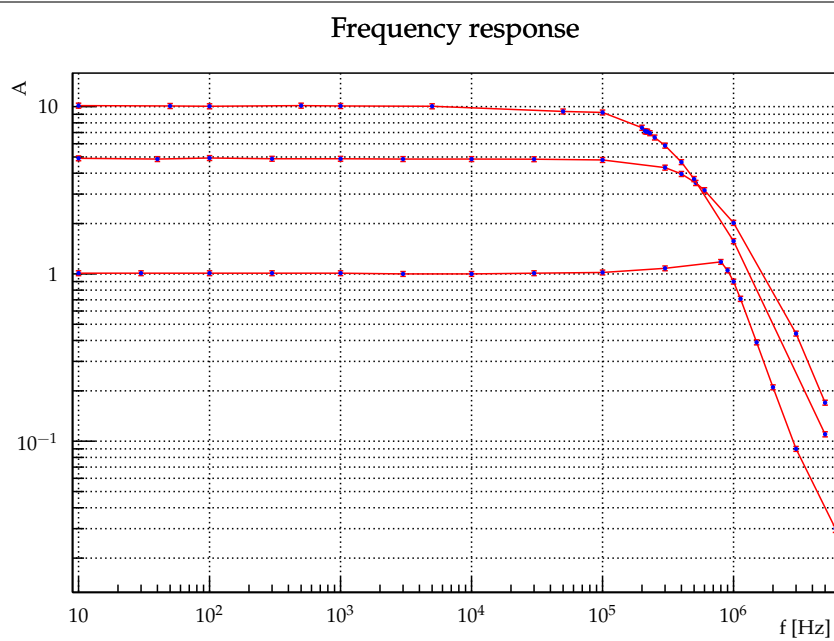


Tabella 5: *Dati risposta in frequenza*

f(Hz)	A
10	1.01
30	1.01
100	1.01
300	1.01
1000	1.01
3000	1.00
10000	1.00
30000	1.01
100000	1.02
300000	1.08
800000	1.18
900000	1.05
1000000	0.90
1130000	0.71
1500000	0.39
2000000	0.21
3000000	0.09
6000000	0.03

Grafico 6 Risposta in frequenza di un amplificatore non invertente a varie amplificazioni



IV. ANALISI DEI DATI

V. APPENDICE: CALCOLO DEGLI ERRORI

da cambiare

VI. CONCLUSIONI

da cambiare

VII. CODICE

È presentata qua la parte fondamentale del codice in c++ usato per i calcoli numerici. Inoltre è stato usato per i calcoli Mathematica.

```
1 /*
2  * OpampAnalysis.cpp
3  *
4  * Created on: 01/mag/2016
5  * Author: enrico
6  */
7
8 #include "OpampAnalysis.h"
9 #include "Graph.h"
10
11 #include <TRoot.h>
12 #include <TGraph.h>
13 #include <TGraphErrors.h>
14 #include <TF1.h>
15 #include <TCanvas.h>
16 #include <TAxis.h>
17 #include <TFitResult.h>
18 #include <TFrame.h>
19 #include <TLegend.h>
20
21 #include <iostream>
22
23 using namespace std;
24
25 string OpampAnalysis::basename = "";
26
27 unique_ptr<Graph> readGraph(string);
28
29 OpampAnalysis::OpampAnalysis(string filename)
30 : filename(filename)
31 {
32     string name = basename + filename + ".txt";
33     unique_ptr<Graph> gr = readGraph(name);
34
35     cout << gr->n() << endl;
36     g = unique_ptr<TGraphErrors>(new TGraphErrors(gr->n(), gr->x(),
37         gr->y(), gr->ex(), gr->ey()));
38 }
39
40 OpampAnalysis::~OpampAnalysis()
41 {
42     // TODO Auto-generated destructor stub
43 }
44
45 void OpampAnalysis::analysis()
46 {
```

```

46 TCanvas c("Interpolazione Opamp");
47 c.SetGrid();
48
49 g->SetFillColor(1);
50 g->SetLineColor(2);
51 g->SetLineWidth(1);
52 g->SetMarkerColor(4);
53 g->SetMarkerSize(0.7F);
54 g->SetMarkerStyle(1);
55 g->SetTitle("Gain");
56 g->GetXaxis()->SetTitle("V_{out} [V]");
57 g->GetYaxis()->SetTitle("V_{in} [V]");
58 g->Draw("AP");
59
60 TF1* f = new TF1("fit", "[0]+[1]*x");
61 f->SetParName(1, "m");
62 f->SetParName(0, "q");
63 f->SetLineColor(4);
64 f->SetLineWidth(1);
65
66 TFitResultPtr r = g->Fit(f, "S", "", -1.5, 1.5);
67 r->Print("V");
68 for (unsigned int i = 0; i < r->NPar(); ++i)
69 {
70     clog << r->ParName(i)
71         << " " << r->Parameter(i)
72         << " " << r->ParError(i) << endl;
73 }
74
75 TLegend *leg = new TLegend(0.8, 0.8, 0.9, 0.9);
76 leg->AddEntry(g.get(), "Data", "lp");
77 leg->AddEntry(f, "Fit", "l");
78 leg->Draw();
79
80 c.Update();
81 c.GetFrame()->SetFillColor(0);
82 c.GetFrame()->SetBorderSize(12);
83 c.Modified();
84
85 string name = "Result" + filename + ".tex";
86 c.Print(name.c_str());
87 }

```

../src/opamp_p1/OpampAnalysis.cpp